

فعالیتNADPH دیافورز و ایمنوراکتیویته کلبیندین NADPHدر نرون های حرکتی نخاع موش های صحرایی نوزاد بعداز ضایعه عصب محیطی

*دكتر زهرا فلاح

خلاصه

سابقه و هدف: مطالعات قبلی خاطر نشان ساخت که ضایعه اعصاب مدین و اولنار، راکتیویته کلبیندین (Calbindin=CB)را در بعضی نرونهای عصبی آسیب دیده در موش های صحرایی در حال رشد القاء می نماید. مرگ نرونهای حرکتی به وسیله قطع عصب سیاتیک در موش های صحرایی نوزاد سبب القاء ایزوفرم نرونی نیتریک اکسید سینتاز شده است. مطالعه حاضر ارتباط بروز کلبیندین با مرگ نرونهای حرکتی را بررسی می نماید.

مواد و روشها: در این مطالعه تجربی که بر روی ۳۰ نوزاد موش صحرایی صورت گرفت، بعد از قطع عصب مدین و اولنار در روزهای دوم و هفتم بعد از تولد (P2, P7) واکنش ADP-d به طریقه هیستوشیمیایی روی مقاطع نخاع گردنی انجام شد تا القاء بروز نیتریک اکسید سینتاز را در نرونهای حرکتی که به روش رتروگراد با فاست بلو (Fast Blue =FB) نشاندار شده بودند همراه با روش ایمنو هیستوشیمی برای CB مورد بررسی قرار دهد.

یافته ها: واکنش دیافورز NADPH در نرونهای حرکتی نشاندار شده با FB در طی هفته های اول و دوم بعد از ضایعه عصبی در PP مشاهده نگردید. اما به دنبال ضایعه عصبی در PV بعضی نرونهای حرکتی نشاندار شده با FB فعالیت آنزیمی را دو هفته بعد از قطع عصب نشان دادند در حالی که برای CB نبو دند.

بحث و نتیجه گیری: این نتایج نقش احتمالی نیتریک اکسید را در ترمیم عصب و نقش CB را در مکانیسمهای محافظتی و یا مرگ نرونی مطرح می نماید.

كلمات كليدي: اكسوتومي، ديافورز NADPH، كلبيندين، نرون حركتي.

مقدمه:

قطع عصب محیطی جوندگان در طی اولین هفته بعد از تولد سبب مرگ نرون های حرکتی بیشماری می گردد (۱-۲). به نقش احتمالی رادیکال آزاد نیتریک اکسید(۱۸۵) در واکنش های گروه های نرون های حرکتی به ضایعه عصبی اشاره شده است. اخیرا نیتریک اکسید به عنوان یک پیامبر داخل سلولی و بین سلولی شناخته شده است که در انتقال پیام عصبی، اتساع عروقی و کشنده سلولی و تکامل سیستم عصبی نقش دارد (۹-۴). ۱۸۵ در سیتوپلاسم نرون از ۱-آرژنین توسط ایزوفرم نرونی نیتریک اکسید سینتاز (۱۸۵۵) و در حضور اکسیژن مولکولی و نیکوتین آمید آدنین دی نوکلئو تید فسفات تولید می شود. القاء فعالیت ۱۸۵۵ در نرون های حرکتی بعد از اکسوتومی (۱۰) یا بعد از قطع ریشه قدامی نخاع در موش های صحرایی نوزاد (۱۱) گزارش شده است. در آزمایشات قبلی به دنبال قطع عصب مدین و

اولنار در روز های P2, P7 نشان داده شد که بعضی نرون های حرکتی آسیب دیده کلبیندین (CB) را که یک پروتئین متصل شونده به کلسیم است را بروز می دهند. ایمنو راکتیویته CB در نرون های حرکتی آسیب دیده در P2 به طور معنا داری بیشتر از نرون های حرکتی آسیب دیده در P7 بود (۱۳). نقش CB در نرون ها موضوع مورد اختلاف بوده است. CB یک پروتئین متصل شونده به Ca⁺ و وابسته به کالمودولین است و بسیاری از مولفین به نقش ابتدایی آن به عنوان بافری کردن غلظت کلسیم داخل سلولی در نرون های از نظر الکتریکی بسیار فعال اذعان دارند (۱۵و ۱۴). مطالعه حاضر به بررسی نقش احتمالی CB در نرون های حرکتی اکسوتومی شده نوزاد رت می پردازد و بروز همزمان CB ایک دیافورز وابسته به CB این نظر دیده بررسی نمی نماید. NADPH یک دیافورز وابسته به NADPH دیافورز دنظر هیستوشیمیایی قابلیت آشکار سازی فعالیت NADPH دیافورز



(NADPH-d) را در بافت عصبی نشان داده است و توزیع آن در انطباق با نرون های حاوی nNOS در روش ایمنو هیستوشیمی است(۱۹-۱۹،۱۹) در این مطالعه، واکنش NADPH-d بطریقه هیستوشیمیایی برای شناسایی nNOS و روش ایمنو هیستوشیمی نیز برای ایمنوراکتیویته CB

مواد و روش ها:

در این مطالعه تجربی (Experimental) بر روی رت های نژاد ویستار نر و ماده بالغ (سه ماهه)از انستیتو پاستور خریداری گردیدند و در آزمایشگاه حیوانات دانشگاه تولید مثل نمودند مطالعه انجام گردید. روز تولد نوزادان به عنوان روز صفر (۲۰) در نظر گرفته شد. قطع اعصاب مدین و اولنار در P2 و P7بر روی ۳۰نوزاد رت صورت گرفت. جراحی تحت شرایط استریل انجام گردید. ابتدا نوزادان به طریقه هیپوترمی بیهوش گردیدند. با ایجاد یک شکاف پوستی در حفره ارنج اندام فوقاني چپ، اعصاب مدين و اولنار نمايان و قطع گردیدند. سپس پودر فاست بلو (Sigma,FB)در انتهای پروکسیمال اعصاب قطع شده نهاده شد و مازاد آن پاک گردید و پوست آن ناحیه بخیه زده شد. بعد از جراحی نوزادان رت نزد مادرشان برگردانده شدند و تا چند ساعت تحت نظارت بعد از عمل قرار گرفتند. ۱۸ حیوان در P2 قطع عصب گردیدند و اجازه داده شد به به مدت ۲، ۵ ۸ ۱۶٬۱۲٬۱۰ و ۱۹ روز (یعنی تاسنین ۱۹۸٬۹۱۴, ۱۲۲٬۹۰۹ و ۱۸٫۳۱۴, ۱۲۸٬۹۱۴, PY۱) بعد از جراحی زنده بمانند (جدول ۱). در آن دسته از رت ها که قطع عصب موفقيت أميز بود، هيپر اكستنسيون دست مشاهده گرديد. هر چند سمت مقابل به اعصاب محیطی قطع شده در نخاع به عنوان شاهد در نظر گرفته شد، تعدای رت درسنین متفاوت نیز به عنوان گروه شاهدانتخاب شدند. تعداد ۱۸ نوزاد رت نیز به همان روش فوق الذكردر PV مورد جراحي قرار گرفتند واجازه داده شد به مدت ۳، ۵، ۷، ۱۱ و ۱۴ روز (یعنی تا سنین ۹۲۰, ۹۲۲, ۹۲۲, ۹۲۱) بعد از جراحي زنده بمانند (جدول ۱).

پس از انجام تعدادی از آزمایشات مربوط به قطع اعصاب مدین و اولنار و مشاهده نتایج، تعدادی نوزاد رت نیز در روزهای PY و PY مورد قطع عصب سیاتیک قرار گرفتند تا با نتایج حاصل از مطالعه (۱۱) مقایسه گردد.

جدول ۱: تعداد رت های اکسوتومی شده در سنین P2 و P7

	كسوتومي	ن پس از آ	ىن حيوان	قطع عصب اعصاب مدين و اولنار	
P21 (٣)	P14 (۲)	P12 (۲)		P4 (۴)	- اکسو تومی در P2 (تعداد حیوان)
P21 (٣)	P18 (۴)	P14 (۴)		P10 (۴)	اکسوتومی در P7 (تعداد حیوان)

حیوانات بعد از طی دوره معین بعد از جراحی با دوز کشنده سدیم (پنتوباربیتال ۶۰mg/kg، داخل صفاقی) بیهوش شدند و از طریق قلبی با سرم فيزيولوژي وبدنبال آن با محلول فيكساتيو تازه (۴٪ پارافرمالدئيد و ۰/۲٪ اسید پیکریک در بافر فسفات (pH=V/۴ ، ۱/۱ M) پرفیوزه (perfused) گردیدند. قطعات نخاع ناحیه تحتانی گردن (C۵-T۱) برداشته شدند و به مدت ۲ ساعت در همان فیکساتیو و سپس در سوکروز ۱۰٪ و ۳۰٪ در بافر فسفات به ترتیب به مدت ۱ ساعت و در طول شب در دمای ۴°C نگهداری شدند. بعد از آن برش های عرضی ۳۰-۴۰ میکرومتری از نخاع توسط کرایوستات زده شد. برشهای بافتی در بافر فسفات سالین (۱۸۰ مرمبر طبق سطح مقطع خود در نخاع به طور جداگانه جمع آوری گردیدند. هر گروه از مقاطع به طور ابتدا با روش هیستوشیمیایی و سپس ایمنو هیستوشیمی مورد اَزمایش قرار گرفتند. زمان چسباندن مقاطع بر روی لام نیز مشخص گردید. در مورد حیوانات با قطع عصب سیاتیک نمونه نخاع کمری در ناحیه و ۲-۲۳ تشریح گردید و به قطعات مربوطه تقسیم گردید و مراحل پردازش بافتی برای این مقاطع نیز به روش فوق انجام شد. روش هيستوشيمي واكنش NADPH -d و ايمنو هيستوشيمي CB برای انجام واکنش NADPH -d از روش Vincent and Kimura استفاده گردید. پس از برش نخاع، ابتدا مقاطع به طور شناور در بافر فسفات ۲۰mM حاوی ۴/۳٪ ترایتون ۲۰mm /۱۲۵ سg/ml نیتروبلوتترازولیوم (Sigma) و Sigma) NADPH\ mg/ml) قرار داده شده و در دمای NADPH\ mg/ml ۶۰-۳۰ دقیقه انکوبه گردیدند. سپس مقاطع در PBS شستشو داده شدند و برای ایمنو هیستوشیمی CB مورد پردازش واقع شدند. ابتدا مقاطع در محلول بافر فسفات حاوى آنتي بادى منو كلونال ضد СВ به غلظت ۲۰۰۰: ۱، ۳/۰٪ ترایتون و ۳٪ سرم نرمال در طول شب در دمای $^{\circ}$ انکوبه شدند. مقاطع سپس با PBS شستشو داده شدند.

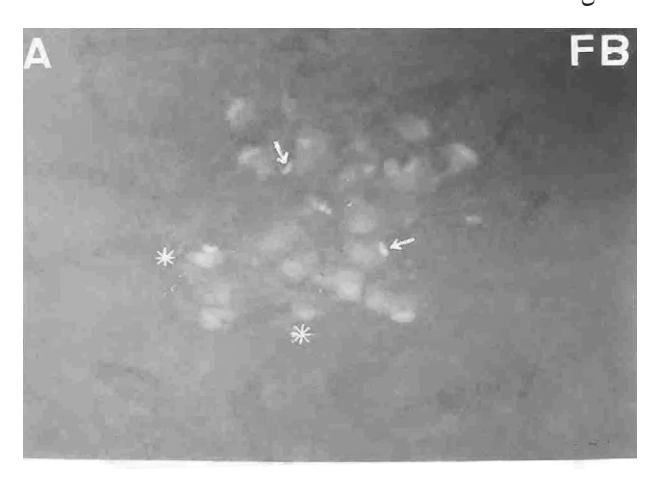
و در محلول حاوی آنتی بادی ثانویه (Fab) کنژو گه با ۲۷۳ به غلظت ۱:۱۰۰ به مدت ۲ ساعت در دمای 9° انکوبه شدند. سپس در محلول PBS شستشو داده شدند و روی لام های با پوشش ژلاتینی چسبانده شدند. لام ها در طول شب خشک شده و با انتلان بر چسب گذاری گردیدند. با ترکیب این دو روش مقاطع بافتی به طور همزمان برای واکنش 10° میکروسکوپ نوری برای بروز واکنش 10° میکروسکوپ نوری برای بروز واکنش 10° میلکروسکوپ نوری برای بروز واکنش 10° میلکروسکوپ نوری برای بروز واکنش 10° فلوئورسانت الیمپوس برای نرون های نشاندار شده با 10° و 10° با استفاده از فیلتر های مناسب نرون های نشاندار شده با 10° و مکسبرداری شدند.

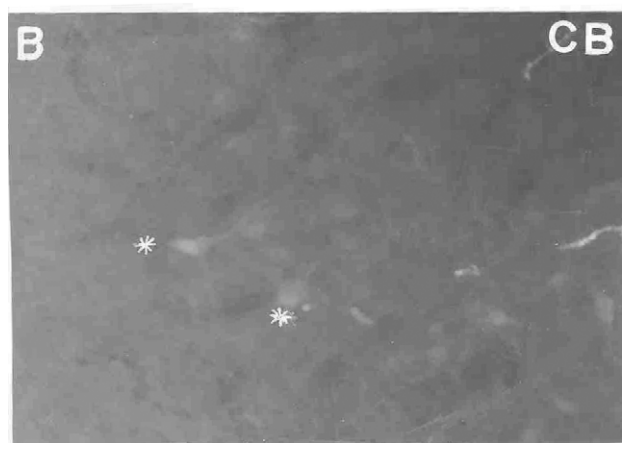
روش شمارش وبررسي آماري :اكثر نرون هاي حركتي نشاندار شده با ۲۶در سطوح ۲۶-۵۸ یافت شدند و همراه با نرون های حرکتی NADPH-d مثبت در همین مقاطع شمارش گردیدند. برای تهیه برش های سریال از نخاع جهت آنالیز کمی، کرایوستات توانایی لازم را نداشت و نیاز به یک دستگاه میکروتوم انجمادی رومیزی بود كه متاسفانه به علت فقدان اين دستگاه كليه مقاطع نخاع جمع آوري نمی گردید به ویژه در مورد رت های جوانتر که برش مقاطع نخاع دشوارتر بود. بنابر این تعداد مقاطعی که از نظر آماری مورد بررسی واقع شدند در گروه های سنی مورد نظر نیز شمارش گردیدند. بر حسب نتایج به دست آمده از روشهای هیستوشیمی و ایمنو هیستوشیمی، شمارش سلولی تنها در مورد بعضی از نمونه های قطع عصب شده در PV که نرونهای با واکنش مثبت NADPH-d را در بین نرونهای نشاندار شده با FB آشکار ساختند انجام شد. جهت شمارش ابتدا نرون های حرکتی FB+در هر مقطع شمارش گردید سپس با تغییر فیلتر از فلوئورسنت به عادی، نرونهای حرکتی نشاندار با واكنش مثبت NADPH-d شمارش گرديدند. ميانگين ارقام به دست آمده از نمونه های هر گروه گرفته شد و انحراف معیار آن نیز محاسبه گر دید.

بافتهها

در بررسی مقاطع بافتی با میکروسکوپ فلوئورسنت، نرون های حرکتی نشاندار شده با FBدر ستون خلفی جانبی شاخ قدامی نخاع در سمت آسیب دیده آشکار شدند. نرون های حرکتی نشاندار شده، FB را در جسم سلولی و دندریت های پروکسیمال خود نشان دادند. علاوه بر نرون های حرکتی، تعدادی سلول گلیال نشاندار در محدوده

نرون های حرکتی یافت شدند. این ها سلول های میکرو گلی بوده که احتمالامتعاقب فاگوسیتوز نرون های حرکتی آسیب دیده که دچار مرگ سلولی شده بودند، به طور ثانویه با FBنشاندار شده بودند. (شکل ۱۵)





شکل ۱: فتومیکروگراف های AوBمربوط به مقطع نخاع گردن رت ۵ روز پس از قطع اعصاب مدین و اولنار در روز P۲می باشد. نرون های حرکتی به روش رتروگراد با پودر FB تشاندار شده اند. بعضی از نرون های حرکتی ایمنوراکتیویته CBرا نشان می دهند(ستاره).سلول های میکروگلی نیز بطور واضح FBرا آشکار ساخته اند (پیکان).

در بررسی ایمنو راکتیویته CB در نرون های نخاع ، الگوی ایمنو راکتیویتی نرون ها در مقاطع نخاع نمونه های شاهد و تجربی شبیه الگوی بالغین بود با این تفاوت که زوائد سیتوپلاسمی این سلول ها با افزایش سن پس از تولدگسترده تر می شد. در مقاطع نخاع مربوط به نمونه های قطع عصب شده بعضی از نرون های حرکتی که FB مثبت بودند، ایمنوراکتیویته CB را با شدت متوسط یا ضعیف نشان دادند (شکل AB). ایمنو راکتیویته بیشتر در جسم سلولی نرون های حرکتی اکسوتومی شده حرکتی دیده می شد. بروز CB در نرون های حرکتی اکسوتومی شده

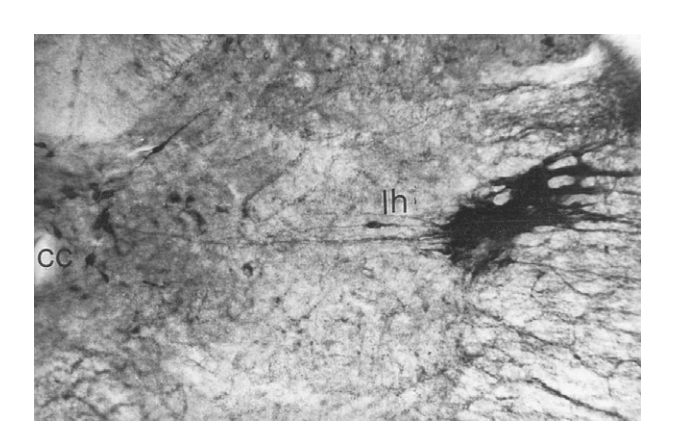


بطور موقتی بود بطوری که با افزایش سن حیوان پس از قطع عصب بتدریج ناپدید گردید و تا دو هفته بعد از قطع عصب کم یا هیچ نرون حرکتی CB را بروز دادند. جدول ۲ مدت زمان بروز CB در نرون های حرکتی اکسو تومی شده را نشان می دهد. در رت های با قطع عصب در P۲ تعداد نرون های حرکتی CB مثبت نسبت به P۷ بیشتر بنظر می رسید. هیچ یک از نرون های حرکتی سمت مقابل نخاع در رت های آسیب دیده ویا نرون های حرکتی در گروه شاهد ایمنوراکتیویته CB را آشکار نکردند.

جدول ۲: ایمنوراکتیویته CB درنرون های حرکتی در سنین مختلف پس از اکسوتومی

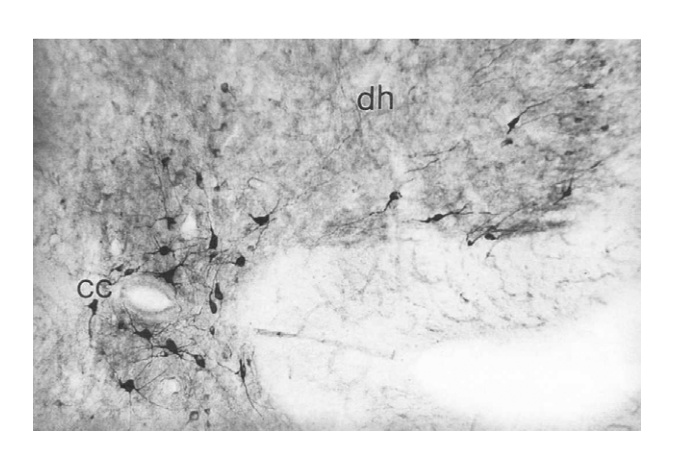
		سن حيوان در زمان					
P21	P18	P14	P12	P10	P7	P4	قطع عصب
+	-+	+	+	+	+	-+	P2
+	-+	+	+	-+			P7

در مشاهدات مقاطع با میکروسکوپ نوری، کلیه مقاطع بافتی در سنین مختلف برای NADPH واکنش نشان دادند. اکثر نرون هایی که واکنش مثبت داشتند در یک روش مشابه به رنگ آمیزی گلژی، رنگ گرفته بودند. و رنگ پذیری را در جسم سلولی و زوائدشان و نه در هسته نشان دادند. این واکنش مثبت در نمونه های شاهد و تجربی شامل همان نرون های نخاعی بود که در مطالعات سایر محققین نیز به آن ها اشاره شده بود. الگوی رنگ پذیری منحصر به نرون هایی در شاخ خلفی نخاع، اطراف کانال مرکزی و تعدادی نیز در شاخ قدامی نخاع می شد (شکل ۲). در مقاطعی که از سطح ۲۱ بریده شده بودند، علاوه بر نرون های فوق الذکر نرون های مستقر بریده شده بودند، علاوه بر نرون های فوق الذکر نرون های مستقر بریده شده بودند، علاوه بر نرون های فوق الذکر نرون های مستقر



شکل : ۲ این فتومیکروگراف مقطعی از نخاع ناحیه تحتانی گردن را در رت نشان می دهد که نرون های d-NADPH مثبت را در شاخ خلفی نخاع (dh) و اطراف کانال مرکزی (CC)نشان می دهد.

در ستون سلولی حد واسط جانبی (IML) نخاع واکنش شدیدی را نشان دادند. این نرون ها توسط دستجاتی از زوائد سلولی خود با نرون های NADPH-d مثبت مستقر در اطراف کانال مرکزی مرتبط بودند. (شکل ۳). نرون هایی که واکنش شدید برایNADPH-d انشان دادند.



شکل ۳: مقطعی از نخاع در سطح ۲۱ که نرون های واکش دهنده با A-NADPH را در شاخ جانبی (IML) نشان می دهد که توسط دستجاتی از زوائد سلولی خود با نرون های مستقر در اطراف کانال مرکزی (CC) نخاع در ارتباط هستند.

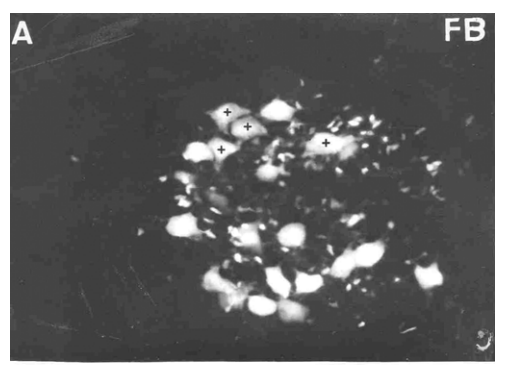
شامل نرون های لایه های سطحی شاخ خلفی و اطراف کانال مرکزی نخاع بودند. نرون های لایه های ۷۱٫۷۱۱ رنگ پذیری با شدت متوسط را آشکار ساختند در حالی که تعداد کمی از نرون هانیز واکنش ضعیفی را نشان دادند. مقاطعی از نخاع که با ضخامت کمتری بریده شده بودند تنها از نظر کاهش رنگ آمیزی زمینه تفاوت داشتند. در بعضي از مقاطع در شاخ قدامي نخاع در مجاورت نرونهاي حركتي نشاندار شده نرون هایی با واکنش شدید NADPH-d در سمت همسو با قطع عصب محيطي يافت شدند كه ۴۶ منفي بودند (شكل ۴). در مقاطع نخاع مربوط به نمونه های اکسوتومی شده در ۲۲، نرو نهای حرکتی در سمت آسیب دیده نخاع در روز های مختلف بعد از قطع عصب برای NADPH-d واکنش مشهودی نداشتند. هر چند تعداد اندكى از نرون هاى حركتى آسيب ديده در هفته دوم بعداز قطع عصب واكنش بسيار ضعيفي را نشان. دادند كه در عين حال براي CB ایمنوراکتیویته نشان ندادند. قطع عصب در PV سبب شد که تقریبا ازروز هفتم پس از اکسوتومی تعدادی از نرون های حرکتی نشاندار شده با FBواكنش NADPH-dرابا شدت متفاوت آشكار سازند، (شکل های ۵-۴) در حالی که از نظر ایمنوراکتیویته CB منفی بودند (شکل ۴). اگر چه بعضی از نرون های حرکتی اکسوتومی شده در P۲





B NADPH-d

شکل ۴: تصاویر سیاه و سفید A-B مقطع نخاع را نشان می دهد. پیکان یک نرون بینابینی d-NADPH مثبت در مجاورت نرونهای حرکتی راکه از نظر FB منفی است اشاره می کند.





شکل ۵: فتومیکروگراف های دیگری از یک مقطع نخاع گردن رت دو هفته پس از قطع عصب محیطی در .. PV نرون های حرکتی FB مثبت که برای NOS نیز و قطع عصب محیطی در .. PV نرون های حرکتی B مثبت که واکنش شدید واکنش داده اند با ستاره مشخص شده اند. یک نرون بینابینی که واکنش شدید طحه - NADPH را آشکار ساخته است در مجاورت نرون های حرکتی دیده می شود (پیکان). به تعداد فراوان سلول های میکروگلی نشاندار شده با FB در تصویر توجه کنید.

جدول ۳: شمارش نرون های حرکتی NADPH-d مثبت و نشاندار شده با FBدر روزهای معین پس از قطع اعصاب مدین و اولنار در رت های نوزاد در PV

درصد نرون های	نرون هاي	نرون های	روزهای پس از	
حركتي	حركتي	حركتي نشاندار	قطع عصب در P7	
FB ⁺ +NADPH-d/FB ⁺	FB ⁺ +NADPH-d ⁺	شده با FB	3 . C	
-	-	۲٧٠	P10	
-	-	104		
-	-	744		
-	-	719	ميانگين(SD)	
-	-	۵۷۲۲(۵۲)		
•/۴	١	740	P12	
•/9	٢	79.		
-	-	1/17	میانگین(SD)	
(*/٢)*/٣	(•/۵)١	P77(7V7)		
14/8	41	۲۸.	P14	
Y•/A	۵۵	754		
۱۰/۵	۳۱	790		
1710	7.7	701	ميانگين(SD)	
(7/4)14/7	(٣/٩)٣٨/٧	(%)////		
19	40	746	P18	
17/9	٣٣	700		
1V/9	47	777		
\ \ \	۵۲	YVA	ميانگين(SD)	
(\/*)\\	(٣/٩)٤٣	(4V)۲۵۷۷		
T•/9	۶۸	474	P21	
10/7	۵۴	400		
17/7	۵۸	474	میانگین(SD)	
(VV)19/1	(4/1)88	(14/0)401		

و PP تا یک هفته پس از قطع عصب کلبیندین را با شدت متفاوت بروز میدادند، ایمنوراکتیویته CB در نرون های حرکتی دو هفته بعد از قطع عصب به سختی قابل رویت بود. با توجه به واکنش منفی نرون های حرکتی CB مثبت از نظر ایم NADPH و نیز اطلاعات منتشر شده حاصل از مطالعه قبلی، سعی در شمارش این نرون های حرکتی CB مثبت نشاندار شده با FB به عمل نیامد. به هر حال نرون هایی حرکتی اکسوتومی شده در PV که NOS را با افزایش تدریجی شدت واکنش طی روزهای پس از جراحی آشکار ساختند شمارش گردیدند. نتایج این شمارش در جدول (۳) اشاره شده است. هر چند به علت نتایج این شمارش در جدول (۳) اشاره شده است. هر چند به علت مشکل در تهیه مقاطع سریال توسط کرایوستات تعداد مقاطع بریده شده نخاع رتهای جوانتر کمتر از رت های بالغ تر بود، بهر حال شمارش نرون های حرکتی نشاندار شده با FB آشکار ساخت که تعداد



نرونهای آسیب دیده کاهش چشمگیری تا دوهفته پس از اکسوتومی نداشته اند.

قطع عصب سیاتیک در P۲ و P۷ نیز نتایج مشابه با قطع اعصاب مدین و اولنار را نشان داد.

همان گونه که در جدول ۱۳. ملاحظه می .. کنید، نرون های حرکتی + FB بیشتری با افزایش سن حیوان پس از اکسوتومی مشاهده می شود. این به دلیل سهولت بیشتر در جمع آوری مقاطع سریال پس از برش توسط دستگاه کرایوستات می باشد. بنا بر این تعداد نرون های حرکتی نشاندار شده پس از قطع عصب مدین و اولنار در این جدول ارقام واقعی بشمار نمی رود. نسبت نرون های حرکتی نشانداری که با انجام واکنش ۵- NADPH در واقع + RNOR بوده اند نیز تقریبا یک هفته بعد از قطع عصب آشکار شده اند ونسبت آنها نسبت به کل نرون های + FB در سنین ۴۱۹, ۲۹۱ تفات معنی داری نداشته است. اگر چه شدت واکنش با افزایش سن بیشتر شده است.

بحث و نتیجه گیری

بروز nNOs در نرون های حرکتی اکسوتومی شده در ارتباط با مرگ نرونی گزارش شده است (۱۱). این مطالعه از طریق واکنش NADPH-d در نرون های حرکتی در زمان های متفاوت بعد از قطع عصب ارتباط احتمالی مرگ نرون های حرکتی آسیب دیده را با بروز CB وnNOs بررسی نمود. در این مطالعه آشکار شد که نرون های حرکتی اکسوتومی شده در P۲ هیچ واکنشی را در رابطه با بروز nNOS از خود نشان ندادند و هیچ انطباقی بین نرون های حرکتی نشاندار شده با FB و نرون های NADPH -d مثبت در کلیه حیوانات این گروه آزمایشی در سنین مختلف پس از اکسوتومی وجود ندارد. این یافته ها مغایرت دارد با نتایج Clowry (۱۱) که نشان داده بود قطع عصب سیاتیک در رتهای ویستار نوزاد (P۱) سبب افزایش نسبت نرونهای حرکتی NADPH-d مثبت در ناحیه خلفی جانبی شاخ قدامی نخاع کمری می شود. این می تواند به علت نوع عصب محیطی قطع شده، و یا شرایط و کیفیت تکنیک مورد استفاده باشد. در این رابطه آزمایشاتی نیز با قطع عصب سیاتیک تجربه شد که یافته های آن با نتایج بدست آمده از قطع اعصاب مدین و اولنار مشابهت داشت. احتمال تفاوت ضخامت مقاطع بافتى نيز مى توانست عاملي براي كاهش واكنش أنزيمي براي واكنش مربوطه باشد كه در اين رابطه نیز مقاطعی با ضخامت کمتر (۳۰µm) تهیه گردید که مجددا در نتایج

بدست آمده تغییری حاصل نشد. البته در مطالعه Clowry اشاره شده که این نرون های حرکتی با واکنش مثبت NADPH-d در بین گروه نرون های حرکتی نشاندار شده با ۴B مشاهده شده اند که خود از نظر FB منفی بوده اند. دلیل مولف در بشمار آوردن این نرون ها به عنوان نرون های اَسیب دیده این بوده که واکنش هیستوشیمیایی این سلولها فلو ئورسانس FBرا مي پوشاند. به هر حال احتمال داده مي شود که نرون های با فعالیت NADPH- d در مطالعه Clowry که پس از قطع عصب در P۲ آشکار شده اند در واقع همان نرون هایی هستند که در سایر تحقیقات و نیز تحقیق حاضر مشاهده شده اند و به اَنها عنوان پیش نرون حرکتی اطلاق گردیده است. بعلاوه در تایید مطالعه حاضر، تحقیقات دیگری نیز نشان داده اند که قطع عصب سیاتیک دررت های نو زاد نتوانسته است سبب بروز nNOS در نرون های حركتي ناحيه كمر در سمت آسيب ديده يا مقابل به آن در نخاع گردد (۲۱ و ۹،۲۰). همچنین در یک مطالعه دیگر Mariotti و همکاران (۲۲) نشان دادند که نرون های حرکتی اکسو تومی شده هسته فاسیال در زمان تولد از آشکار کردن NADPH-d در روزهای اول و دوم بعد از قطع عصب ناتوان هستند، یعنی زمانی که تغییرات آپوپتوزی در نرون های حرکتی بوضوح آشکار بوده و به عبارتی بروز nNOSپس از شروع مرگ نرون های حرکتی بوده است.

از طرف دیگر در این بررسی، قطع اعصاب مدین و اولنار در PV منجر به فعالیت دیافورز HADPH در بعضی از نرون های حرکتی آسیب دیده دو هفته پس از اکسوتومی گردید. بروز RNOS توسط بعضی از این نرون های حرکتی می تواند نقش نور تروفیکی این آنزیم را مطرح سازد. در بررسی نقش NO در دژنراسیون والرین عصب سیاتیک پس از لیگاتور مشاهده شده که پس از دو روز RNOS در نرون های گانگلیون خلفی ریشه نخاع ظاهر می شود که به الیاف در حال رشد گسترش یافته و در طی هفته دوم به پیک می رسد. همچنین، ایزوفرم اندو تلیالی ROS در محل لیگاتور عصب و ROS در ماکروفاژهای ناحیه آسیب عصب افزایش می یابند (۲۳). همچنین بر اساس گزارش ناحیه آسیب عصب افزایش ، موشهای ناک اوت ROS بعد از قطع عصب از حد نرونهای گانگلیون خلفی نخاع را آشکار ساختند (۲۶،۲۵٬۲۶). همچنین بر عمیم از حد در در در در در در در در در مای گانگلیون خلفی نخاع را آشکار ساختند (۲۶٬۵٬۲۵٬۲۶).



نوروتروفیکی مشتق از مغز (BDNF)در بروز mRNA ژنهای مرتبط با رشد مثل ۴۳, L1, TAG1-GAP می شود (۲۷). بنابراین بنظر می رسد که NO و به عبارتی ایزوفرم نرونی NOS جهت بقا و ترمیم نرون ضروری باشد در مطالعه قبلی (۱۳)وجود سلولهای میکرو گلی نشاندار شده با FB یک هفته پس از قطع عصب در P۲. و P۷گزارش شد که تعداد آنها در رتهای تجربی جوانتر بیشتر بود. در این مطالعه حضور سلول های میکرو گلی نشاندار دو هفته بعد از آسیب عصب محیطی در ۷۷می تواند نشانه ادامه روند مرگ سلولی باشد. در عین حال، نرون های حرکتی مقاوم در برابر آسیب که تعدادشان با افزایش سن حیوان در هنگام اکسوتومی افزایش می یابد، احتمالا با بروز NO به روند ترميم كمك مينمايند.

در بررسی ایمنوراکتیویته CB نیز نتایج نشان دادند که CB بطور موقت در نرون های حرکتی اکسوتومی شده اَشکار می شود که با افزایش سن حیوان پس از قطع عصب محیطی بتدریج ناپدید می شود. بطوری که دو هفته بعد از قطع عصب نرون های حرکتی CB مثبت بندرت یافت می شدند. بعلاوه نرونهای حرکتی اکسوتومی شده در PV نیز که از هفته دوم با شدت ضعیفی n NOS را بروز دادند با نرون های حرکتی CB مثبت منطبق نبودند. ظهور CBدر نرون های حرکتی اکسوتومی شده می تواند حاکی از نقش آن در نوروپروتکشن باشد. Lim و همکارانش (۲۸)، بروزموقت CB را در نرون های حرکتی نخاع کمری رت پس از ریزوتومی اعصاب نخاعی در ۲۳ گزارش داده اند. آن ها با توجه به مرگ ۸۰٪ نرون های حرکتی آسیب دیده، نظر داده اند که بروز زودگذر CB در نرون های حرکتی اکسوتومی شده که اکثر ا محکوم به مرگ هستند می تواند یک کوشش ناموفق اين نرون ها در بافري نمودن مقادير بالاو نوروتوكسيك كلسيم داخل سلولی باشد. از طرف دیگر، بنظر می رسد بروز موقت CB در نرون های حرکتی بعد از اکسوتومی در ارتباط با مرگ نرونی باشد زیرا در مطالعه قبلی نشان داده شد که با افزایش سن حیوان در زمان قطع عصب محیطی، ایمنوراکتیویته CBدر نرون های حرکتی كاهش مي يابد كه با كاهش مرك نرون مطابقت دارد. بنابر اين احتمال دارد این پروتئین در مسیر های پیام رسانی ۲+ca که منتهی به مرگ سلول مي شود دخالت داشته باشد. بنابر اين آسيب عصب محيطي در روز های نخست بعداز تولد منجر به مرگ سریع تعداد بیشماری از نرون های حرکتی می گردد، در حالی که هنگام قطع عصب محیطی

در PV، نرون های حرکتی تکامل یافته ترند و مرگ نرون ها نیز تدریجی

با توجه به شمارش نرون های حرکتی نشاندار شده با FB که به منظور تعیین درصد نرون های حرکتی آسیب دیده دارای فعالیت ط-۸۸DPH انجام شد بنظر می رسد که قطع عصب در PV تاثیرزیادی در تعداد نرون های آسیب دیده ندارد. در عین حال باتوجه به عدم حصول مقاطع سریال نخاع بویژه در رتهای جوانتر توسط کرایوستات، این یک روش شمارش دقیق برای تعیین درصد مرگ سلولی به شمار نمی رود. یافته های حاصل از مطالعه قبلی (۱۳)نیز نشان دادکه شمارش تعداد نرون های حرکتی آسیب دیده نشاندار شده با FB در گروه هایی از رتها با قطع عصب مدین و اولنار در سنین PY, PY, PY۱ و بالغ تفاوت معنى داري نداشته، هر جند در رت هاي جوان تر اکسوتومی شده کمتر بود. مطالعات زیادی نشان داده اند که توانایی نرون های حرکتی به ادامه حیات بعد از اکسو تومی با سن حیوان در زمان قطع عصب تغییر می کند. Pollin و همکارانش (۲) در مطالعات خویش بر روی موش های نوزاد نشان دادند که قطع اعصاب مدین و اولنار در چهار روز اول بعد از تولد سبب مرگ ۹۰-۸۰٪ نرون های حرکتی می گردد و ۵۰٪ نرون های حرکتی نیز متعاقب اکسوتومی در هفته اول بعداز تولد از بین می روند. کاهش نسبی مرگ نرونی بدنبال اکسوتومی در PV موید این نکته است که نرون های حرکتی در این سن بالغتر از زمان P۲ هستند.علاوه بر اینکه اختلافات زیادی در میزان مرگ نرون های حرکتی در رابطه با متفاوت بودن سن اکسوتومی در گونه های مختلف دیده شده، نظرات متفاوتی نیز در مورد میزان مرگ نرونی در بین یک گونه خاص مطرح شده است. بطوری که در مطالعات بر روی رت ها بعضی محققین گزارش دادهاند که آسیب عصب سیاتیک ۷ روز پس از تولد منجر به کاهش ۸۰٪ نرون های حرکتی می شود (۲۹)، در حالی که بعضی دیگر نه تنها کاهش نروني قابل ملاحظه اي رابعد از آسيب عصب محيطي ٥-٥ روزبعد از تولد ذكر نكرده اند، بلكه عصب رساني مجدد تقريبا كامل عضله را گزارش نموده اند (۳۰). بعلاوه Clowry و همکارانش (۳۱)در بررسی آسیب پذیری نرون های حرکتی هسته های فاسیال، زیر زبانی، ابدوسن و سه قلو تنه مغزی در موش جهش یافته لرزان (Wobbler) نتیجه گرفته اند که نرون های حرکتی در هسته های مختلف پاسخ متفاوتی در فاز دژنراسیون است.



تشكر و قدرداني

کار تحقیقاتی حاضر نتیجه طرح پژوهشی مصوب دانشگاه شاهد است که مولف بدین وسیله مراتب قدردانی خویش را از معاونت محترم پژوهشی دانشگاه و مسئولین دانشکده پزشکی در حمایت مالی و فراهم نمودن امکانات و تسهیلات لازم ابراز می دارد. از جناب آقای دکتر احمدیانی و نیز مدیریت محترم شرکت دارویی زهراوی که در تامین داروی بیهوشی مورد نیاز همکاری نمودند کمال تشکر را دارم. همچنین مراتب قدر دانی خود را از سرکارخانم شرایلی و پرسنل محترم آزمایشگاه بیمارستان مصطفی خمینی که در امر تهیه برش های انجمادی به این پروژه یاری رساندند و نیز آقای بشارتی کارمند دلسوز آزمایشگاه حیوانات و نیز کلیه پرسنل دانشکده بشارتی کارمند دلسوز آزمایشگاه حیوانات و نیز کلیه پرسنل دانشکده مراحل مختلف پروژه همکاری داشتند، اعلام می دارم.

از مطالعه حاضر می توان نتیجه گیری نمود که NO علاوه بر سیتو توکسیسیتی می تواند در مکانیسم های ترمیمی نیز موثر باشد به همان گونه که در طی تکامل اولیه نرون حرکتی نیز بروز می یابد. افزایش شدت واکنش HADPH در طی هفته دوم پس از قطع عصب محیطی در PV و نه در P۲ به دلیل آسیب پذیری کمتر نرون های حرکتی و تمایل بیشتر آن ها به بقا و ترمیم می باشد. از طرفی بروز موقت CB در نرون های حرکتی اکسوتومی شده در طی دو هفته بعد از آسیب در رابطه با واکنش محافظتی اولیه نرون ها به اثرات مرگبار افزایش کلسیم داخل سلولی و در واقع مقابله با مرگ سریع نرون ها و یا نتیجه مداخله این پروتئین در مکانیسم های مرگ سلولی با واسطه نتیجه مداخله این پروتئین در مکانیسم های مرگ سلولی با واسطه

References:

- 1. Aszmann O C, Winkler T, Korak, Lassmann H, Frey M. The influence of GDNF on the timecourse and extent of motoneuron loss in the cervical spinal cord after brachial plexus injury in the neonate. Neurol Res. 2004; 26:211-7.
- 2. Pollin M M, McHanwell S, and Slatter C R. The effect of age on motoneuron death following axotomy in the mouse. Devel. 1991; 112: 83-89.
- 3. Lowrie M B, and Vrbova G. Dependence of postnatal motoneurones on their targets: Review and hypothesis. Trends Neurosci. 1992; 15: 80-84.
- 4. Tiraihi, T and Rezaie M J. Apoptosis onset and Bax protein distribution in spinal motoneurons of newborn rats following sciatic nerve axotomy. Intern.
- J. Neurosci. 2003; 113: 1163-1175.
- 5. Garthwai J. Glutamat, nitric oxide and cell- cell signalling in the nervous system. Trends Neurosc. 1991; 14: 60-67.
- 6. Nathan C. Nitric oxide as a secretory product of mammalian cells. Fedn Proc fedn Am Socs Exp Biol. 1992; 3051-3064.
- 7. Snyder S H. Nitric oxide and neurons. Curr Opin

- Neurobiol. 1992; 2: 323-327.
- 8. Brosnan C F, Battistini L, Ranie C S, Dixon D W, Casadevall A, and Lee S C. Reactive nitrigen intermediates in human neuropathology: an overview. Dev Neurosci. 1994; 16:152-161.
- 9. Keilhoff G, Seidel B, Noack H, Tischmeyer W, Stanek D, and Wolf G. Patterns of nitric oxide synthase at the messenger RNA and protein levels during early rat brain development. Neurosci. 1996; 75: 1193-1201.
- 10. Kalb R G and Agostini J: Molecular evidence for nitric oxide-mediated motoneuron development. Neurosci, 1993; 57: 1-8.
- 11. Clowry G J. Axotomy induces NADPH diaphorase activity in neonatal but not adult motoneurons. Neuroreport. 1993; 5: 361-364.
- 12. Wu Y, Li Y, Liu H, and Wu W. Induction of nitric oxide synthase and motoneuron death in newborn and early postnatal rats following spinal root avulsion. Neurosci Lett. 1995; 194: 109-112.
- 13. Fallah Z, and Clowry G J. The effect of a peripheral nerve lesion on calbindin D28k immunoreactivity in



the cervical ventral horn of developing spinal cord. Exp Neurosci. 1999; 156: 111-120.

14. Kohr G, Lambert C E, and Mody I. Calbindin-D28k (CaBP) levels and calcium currents in actually dissociated epileptic neurons. Exp. Brain Res. 1991; 85: 543-551.

15. Liedo P M, Morton A J, Emson P C, and Masson W T. Stable transfection of calbindin-D28k into the Gh3 cell line alters calcium currents and intracellular homeostasis. Neuron. 1992; 9: 943-

16. Anderson C R. NADPH diaphorase positive neurons in the rat spinal cord include a subpopulation of autonomic preganglionic neurons. Neurosci Lett. 1992; 130: 280-284.

17. Dawson T D, Bredt D S, Fotuhi M, Hwang P M and Sinder S H: Nitric oxide synthase and neuronal NADPH diaphorase are identical in brain and peripheral tissues. Proc Natl Acad Sci, 1991; 88: 7797-7801.

18. Yu W H A. Regulation of nitric oxide synthasee expression in motoneurons following nerve injury. Dev Neurosc. 1997; 19: 247-254.

19. Vincent S R, and Kimura H. Histochemical mapping of nitric oxide synthasein the rat brain. Neurosci. 1992; 46: 755-784.

20. Rogerio F, Teixeria S A, Queiroz L S, Nucci G and Langone F: Expression of neuronal isoform of nitric oxide synthase in spinal neurons of neonatal rats after sciatic nerve transection. Neurosci Lett, 2001; 307: 61-64.

21. Piehl F, Hammarberg H, Tabar G, Hokfelt T, and Culheim S. Changes in the mRNA expression pattern, with special reference to calcitonin gene related peptide after axonal injuries in rat motoneurons depends on age and type of injury. Exp Brain Res. 1998; 119: 191-204.

22. Mariotti R, Peng Z-C, Kristensson K, and Bentivoglio M. Age-dependent induction of nirtricoxide synthase activity in facial motoneurons after axotomy.

Exp. Neurol. 1997; 145: 361-370.

23. Gonzalez- Hernandez T, Rustioni A. Expression of three forms of nitric oxide synthase in peripheral nerve regeneration. J Neurosci. Res. 1999; 55:198-207.

24. Keilhoff G, Fansa H, Wolf G. NOS Neuronal deficiency promotes apoptotic cell death of spinal cord neurons after peripheral nerve transection. Nitric Oxide. 2004; 10:101-11.

25. Keilhoff G, Fansa H, Wolf G. Nitric oxide synthase, an essential factor in peripheral nerve regeneration.Cell Mol Biol. 2003; 49:885-97. 26. Keilhoff G, Fansa H, Wolf G. Neuronal nitric oxide synthase is the dominant nitric oxide supplier for the survival of dorsal root ganglia after peripheral nerve axotomy. J Chem Neuroanat.. 2002; 24:181-7. 27. Klocker N, Jung M, Stuermer CA, Bahr M. BDNF increases the number of axotomized rat retinal ganglion cells expressing Gap-43, L1 and TAG-1 mRNA –a supportive role for nitric oxide? Neurobiol. Dis. 2001; 8: 103-113.

28. Lim SM, Guiloff RJ, Navarrette R. Interneuronal survival and calbindin D-28k expression following motoneuron degeneration. J Neurol. sci. 2000; 180: 45-51.

29. Luthman J, Aldskogius H, Sevenson M, and Jondsson G. Exogenous GM-1 ganglioside and thyrotropin-releasing hormon do not affect survival rate of spinal motor neurons and number of ventral root myelinated fibers following early postnatal sciatic nerve transection. Exp. Neurol. 1988; 99: 166-177. 30. Lowrie MB, Krishnan S, Vrbova G. Recovery of slow and fast muscles following nerve injury during early post-natal development in rat. J. Physiol. 1982; 331: 51-66.

31. Clowry JG and McHanwell S. Brainstem motor nuclei respond differentially to degenerative disease in the mutant mouse wobbler. Neuropathol and Appl. Neurobiol. 2004; 30: 148-160.

NADPH-diaphorase activity and CB-28kD immunoreactivity in spinal motoneurons of neonatal rats after a peripheral nerve lesion

*Zahra Fallah¹

Abstract:

Background: Our previous studies have shown that median and ulnar nerve lesion induced calbindin (CB) immunoreactivity in some injured motoneurons in developing rats. Motoneuron death induced by sciatic nerve transection in neonatal rats has been related to induction of neuronal isoform of nitric oxide synthase. The present study investigated whether CB expression is related to the death or survival of motoneurons in response to axotomy.

Materials and methods: After median and ulnar nerve transection at P2 and P7, NADPH-diaphorase histochemistry was performed on cervical sections to analyze the induction of nitric oxide synthase in motoneurons retrogradely labeled with fast blue and immunostained for CB. NADPH-diaphorase reactivity was not detectable in fast blue (FB) labeled motoneurones after 1 and 2weeks after nerve lesion at P2.

Results: following nerve lesion at P7, some FB labeled motoneurons showed enzyme activity 2 weeks after nerve lesion which were not CB immunoreactive.

conclusion:The results indicate the possible role of nitric oxide in nerve regeneration and the role of CB in neuroprotection from cell death or in mechanisms of neurodegeneration.

Key words: axotomy, calbindin, motoneuron, NADPH-diaphorase

^{1- (*}Correspondence author) Assistant professor, department of histology, Army University of medical sciencses.